

<http://journal.rmutp.ac.th/>

## การศึกษาเชิงทดลองการเพิ่มประสิทธิภาพแ朋เซลล์เสงอาทิตย์โดยใช้ท่อความร้อนแบบแบน

## อนุรัตน์ เทวتا และ ปุณนา ศรีอุดม\*

คณะวิศวกรรมศาสตร์ มหาวิทยาลัยเทคโนโลยีราชมงคลล้านนา 41 ถนนพหลโยธิน ตำบลแม่จาม อำเภอเมือง จังหวัดตาก 63000

รับทุกวัน 5 มกราคม 2561; ตอบรับทุกวัน 28 พฤษภาคม 2561

บทคัดย่อ

งานวิจัยนี้มีวัตถุประสงค์เพื่อศึกษาการเพิ่มสมรรถนะของแพงเซลล์แสงอาทิตย์โดยการติดตั้งท่อความร้อนสำหรับระบบความร้อนจากแพงเซลล์แสงอาทิตย์ โดยแพงเซลล์แสงอาทิตย์ที่ใช้สำหรับทดสอบเป็นแบบโมโนคริสตัลไลน์ ขนาด 80 วัตต์ ซึ่งจะทำการทดสอบแพงเซลล์แสงอาทิตย์ 3 แบบ คือ แบบที่ 1 แพงเซลล์แสงอาทิตย์ที่ไม่ได้ติดตั้งท่อความร้อน(HP1) แบบที่ 2 แพงเซลล์แสงอาทิตย์ที่ติดตั้งท่อความร้อนโดยใช้อุปกรณ์(HP2) เป็นสารทำงาน และ แบบที่ 3 แพงเซลล์แสงอาทิตย์ที่ติดตั้งท่อความร้อนโดยใช้สารทำงาน R-11 เป็นสารทำงาน (HP3) ซึ่งการทดสอบจะทำการเก็บข้อมูลความเข้มแสงอาทิตย์ กำลังไฟฟ้า และอุณหภูมิของแพงเซลล์แสงอาทิตย์ จากผลการทดสอบ พบว่า อุณหภูมิเฉลี่ยที่ผิวของแพงเซลล์แสงอาทิตย์ที่ไม่ได้ติดตั้งท่อความร้อน มีค่าเท่ากับ 52.9 องศาเซลเซียส และมีประสิทธิภาพ เท่ากับร้อยละ 9.3 ส่วนแพงที่ทำการติดตั้งท่อความร้อนโดยใช้อุปกรณ์ เป็นสารทำงาน มีอุณหภูมิที่ผิวของแพงเซลล์แสงอาทิตย์โดยเฉลี่ย เท่ากับ 50.7 องศาเซลเซียส และมีประสิทธิภาพร้อยละ 10.2 และแพงที่ทำการติดตั้งท่อความร้อนโดยใช้สารทำงาน R-11 เป็นสารทำงาน มีอุณหภูมิผิวของแพงเซลล์แสงอาทิตย์โดยเฉลี่ย เท่ากับ 49.2 องศาเซลเซียส และมีประสิทธิภาพ ร้อยละ 11.8 ซึ่งการทดสอบ จะเห็นได้ว่า การติดตั้งท่อความร้อนเพื่อระบบความร้อนทำให้แพงเซลล์แสงอาทิตย์มีประสิทธิภาพที่ดีขึ้น

**คำสำคัญ** : การเพิ่มประสิทธิภาพ, แผนเซลล์แสงอาทิตย์, ห้องความร้อนแบบแบน

\* ผู้นิพนธ์ประสานงาน โทร: +669 5636 9747, ไปรษณีย์อิเล็กทรอนิกส์: yuttana.sriudom@gmail.com

<http://journal.rmutp.ac.th/>

## An Experimental Study on Increasing Efficiency of Solar Cell Modules by Flat Heat Pipe Cooling

Anurat Tewata and Yuttana Sriudom\*

Faculty of Engineering, University Rajamangala University of Technology Lanna  
41 Paholayothin Road, Mai Ngam, Mueang, Tak, 63000

---

*Received 5 January 2018; Accepted 28 May 2018*

### Abstract

The purpose of this research was to improve the efficiency of solar cell modules by cooling with heat pipes. The test set consisted of three 80 watt solar modules that were made of mono-crystalline. The first module did not install heat pipes, while the second module installed heat pipes using ethanol as the working fluid and the third module installed heat pipes using R-11 as working fluid. Solar radiation intensity, electrical energy produced by the solar modules, and temperature of the solar modules were recorded. The results showed that the average temperature of the first solar cell module was 52.9 °C and the efficiency was 9.3%, in the case of not install heat pipes on solar module. For the units with heat pipes, it was found that unit with ethanol heat pipe had an average temperature of 50.7 °C and efficiency at 10.2%, whereas the unit using R-11 heat pipe had an average temperature at 49.2 °C and efficiency at 11.8%. From the experiments, it was concluded that the installation of heat pipes could increase the efficiency of solar cell modules.

**Keywords :** Increasing Efficiency; Solar Cell Module; Flat Heat Pipe

---

\* Corresponding Author. Tel.: +669 5636 9747 E-mail Address: [yuttana.sriudom@gmail.com](mailto:yuttana.sriudom@gmail.com)

## 1. ບໜໍາ

องศาสตร์เชิงปรัชญาของแพนเซลล์แสดงอาทิตย์จะลดลง ประมาณร้อยละ 10 – 15 Kiatsiriroat [1] จากปัจจัยดังกล่าว ทำให้มีอัตราภัยหล่าย่านได้ทำการศึกษาค้นคว้าและทำการวิจัยเพื่อหาแนวทางลดอุณหภูมิของเซลล์แสดงอาทิตย์โดยการนำเทคนิคต่างๆ มาใช้ในการระบายความร้อนออกจากแพนเซลล์แสดงอาทิตย์ ประกอบไปด้วย Phuengkum [2] ได้ทำการศึกษาการเพิ่มสมรรถนะของแพนเซลล์แสดงอาทิตย์โดยระบบหล่อเย็น พบว่า ที่อุณหภูมิของแพนเซลล์แสดงอาทิตย์ในเกล็ดเดียงกันของแต่ละเงื่อนไข ระบบหล่อเย็นด้วยน้ำที่อัตราการไหหลังปริมาตร  $4.24 \times 10^{-6}$  ลูกบาศก์เมตรต่อวินาที ให้ผลดีที่สุด ซึ่งทำให้อุณหภูมิของแพนเซลล์แสดงอาทิตย์ลดลง 21.05 องศาเซลเซียส ประสิทธิภาพเพิ่มขึ้นร้อยละ 0.51 ให้กำลังไฟฟ้าเพิ่มขึ้นร้อยละ 9.35 ส่วนระบบหล่อเย็นด้วยแผ่นครึบทำให้ลดลง 9.19 องศาเซลเซียส มีประสิทธิภาพเพิ่มขึ้นร้อยละ 0.28 ให้กำลังไฟฟ้าเพิ่มขึ้นร้อยละ 5.02 Bhulla [3] ได้ทำการศึกษาการปรับปรุงประสิทธิภาพของแพนเซลล์แสดงอาทิตย์โดยเทคนิคการลดอุณหภูมิด้วยการใช้น้ำในระบบระบายความร้อนสำหรับการลดอุณหภูมิในการทำงานของแพนเซลล์แสดงอาทิตย์ โดยได้ทำการทดสอบระบบระบายความร้อน 2 แบบ คือ แบบพ่นบนผิวน้ำแพนเซลล์แสดงอาทิตย์และแบบน้ำหยดบนผิวน้ำแพนเซลล์แสดงอาทิตย์โดย พบว่า ในทุกการทดสอบนั้นสามารถลดอุณหภูมิในการทำงานของแพนเซลล์แสดงอาทิตย์ได้เป็นอย่างดี การทดสอบแบบพ่นน้ำและแบบน้ำหยดบนผิวน้ำของแพนเซลล์แสดงอาทิตย์ มีความสามารถในการลดอุณหภูมิโดยเฉลี่ยร้อยละ 30.1 และ 39.9 ตามลำดับ ส่งผลให้แพนเซลล์แสดงอาทิตย์มีค่าประสิทธิภาพในการทำงานเพิ่มขึ้น โดยเฉลี่ยร้อยละ 8.6 และ 12.6 ตามลำดับ Yonsatitkul [4] ได้ทำการศึกษาประสิทธิภาพของแพนเซลล์โดยระบายความร้อนด้วยห่อทำ ความเย็นแบบห่อห้องแดงร่วมกับแผ่นเพลเทียร์ พบว่า ในช่วงเวลา 12.20 น. ที่มีความเข้มแสงอาทิตย์เท่ากับ 642 วัตต์ต่อตารางเมตร มีค่า

กำลังไฟฟ้าของแผงโซล่าเซลล์ ที่ติดตั้งห่อทองแดง ระยะความร้อนเท่ากับ 40.74 วัตต์ ที่อุณหภูมิเฉลี่ยของแผงโซล่าเซลล์เท่ากับ 49.7 องศาเซลเซียส และประสิทธิภาพเท่ากับ ร้อยละ 19.65 และแผงโซล่าเซลล์มาตรฐาน มีค่ากำลังไฟฟ้าเท่ากับ 36.86 วัตต์ ที่อุณหภูมิเฉลี่ยของแผงโซล่าเซลล์เท่ากับ 50.3 องศาเซลเซียส และประสิทธิภาพเท่ากับร้อยละ 16.95 แสดงว่าการติดตั้งระบบระยะความร้อนด้วยห่อทองแดงรูปทรงกลมมีกำลังไฟฟ้าและประสิทธิภาพการทำงานของแผงโซล่าเซลล์สูงกว่าแผงโซล่าเซลล์แบบมาตรฐานเท่ากับ ร้อยละ 2.7 จากงานวิจัยต่าง ๆ ที่ผ่านมาเกี่ยวกับการเพิ่มประสิทธิภาพแผงเซลล์แสงอาทิตย์โดยการระยะความร้อนจากแผงเซลล์แสงอาทิตย์นั้น มีหลายวิธีการมากในการนำมาช่วยระยะความร้อน โดยที่ความร้อนก็เป็นอีกวิธีการหนึ่ง ที่จะช่วยในการลดอุณหภูมิของแผงเซลล์แสงอาทิตย์ดังเช่น กรณีตัวอย่าง ของ Sichamnan [5] ได้ทำการศึกษาเชิงทดลองการระยะความร้อนจากแผงเซลล์แสงอาทิตย์โดยใช้ห่อความร้อนที่ติดตั้งวัสดุพรุนแบบตาข่ายห่อทองแดง พบว่า แผงเซลล์แสงอาทิตย์ที่ใช้ห่อความร้อนติดตั้งวัสดุ พรุนแบบตาข่ายห่อทองแดง สามารถลดอุณหภูมิของแผงเซลล์แสงอาทิตย์ได้ดีกว่าแผงเซลล์แสงอาทิตย์ที่ไม่ได้ติดตั้งห่อความร้อนโดยเฉลี่ยร้อยละ 9.21 Gang [6] ได้ทำการออกแบบและสร้างห่อความร้อนที่ใช้ในการระยะความร้อนให้กับตัวเก็บรังสีอาทิตย์โดยใช้ห่อความร้อนทำมาจากห่อทองแดงที่ใช้น้ำเป็นสารทำงานโดยที่ตัวเก็บรังสีอาทิตย์ เป็นแบบ Single Crystalline Silicon ทำการทดลองโดยการเปรียบเทียบกับแบบจำลอง โดยพบว่า แบบจำลองสามารถทำงานได้เป็นที่น่าพอใจ ความร้อนรายวันและประสิทธิภาพทางไฟฟ้าของระบบเป็นร้อยละ 41.9 และ 9.4 ตามลำดับ ในขณะที่ค่าเฉลี่ยทางความร้อนและไฟฟ้าที่ได้คือ 276.9 และ 62.3 วัตต์ต่อตารางเมตร ตามลำดับ และประสิทธิภาพรวมของระบบร้อยละ 6.8 Gang [7] ได้ทำการวิเคราะห์เกี่ยวกับการผลิตน้ำร้อนและ

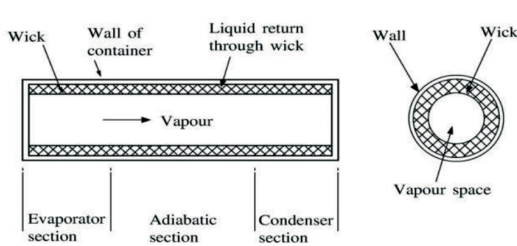
ไฟฟ้าสำหรับบ้านพักอาศัยเป็นรายปี โดยใช้ห่อความร้อนสำหรับระยะความร้อนให้กับตัวเก็บรังสีอาทิตย์โดยประยุกต์ใช้ในพื้นที่ 3 สภาพภูมิอากาศในประเทศไทย จีน ได้แก่ ย่องกง ลาซา และปักกิ่ง โดยพบว่า พลังงานความร้อนและไฟฟ้าที่ได้จากระบบทลักษณ์อยู่กับความเข้มของรังสีอาทิตย์ในพื้นที่ สำหรับระบบที่มีอุปกรณ์เสริมด้านความร้อน เมื่อถูกใช้ในย่องกง ลาซา และปักกิ่ง ความร้อนรายปีจะเท่ากับ 1,665.05 - 1,872.22 2,939.67 - 3,328.25 และ 2,111.07 - 2,352.95 เมกะจูลต่อตารางเมตร ตามลำดับ พลังงานไฟฟ้าที่ผลิตได้รายปีเท่ากับ 261.32 - 264.98 462.14 - 466.10 และ 322.84 - 328.15 เมกะจูลต่อตารางเมตร

ดังนั้น การศึกษาวิธีการระยะความร้อนจากแผงเซลล์แสงอาทิตย์โดยการประยุกต์ใช้ห่อความร้อนแบบ สำหรับระยะความร้อนจากแผงเซลล์แสงอาทิตย์ เป็นอีกแนวทางหนึ่งที่จะทำให้แผงเซลล์แสงอาทิตย์มีประสิทธิภาพเพิ่มขึ้น อีกทั้งการลดอุณหภูมิของแผงเซลล์แสงอาทิตย์ให้มีอุณหภูมิที่เหมาะสมจะส่งผลให้แผงเซลล์แสงอาทิตย์สามารถทำงานได้เต็มประสิทธิภาพและเกิดประโยชน์สูงสุดต่อไป

## 2. ระเบียบวิธีวิจัย

### 1. ทฤษฎีห่อความร้อน (Heat Pipe)

1.1 ห่อความร้อนเป็นอุปกรณ์ที่สามารถในการนำความร้อนจากปลายด้านหนึ่งไปสู่ปลายอีกด้านหนึ่งได้อย่างรวดเร็ว โดยมีลักษณะเป็นห่อปลายปิดทั้ง 2 ด้าน ภายในจะทำให้เป็นสูญญากาศและบรรจุสารทำงานและวัสดุพรุนไว้ โดยสารทำงานทำหน้าที่รับความร้อนจากส่วนทำระหว่างแล้วไประยะความร้อน กับส่วนควบแน่นแล้วกลับตัวเป็นของเหลวให้กลับมาอีกส่วนทำระหว่างอีกครั้ง โดยอาศัยวัสดุพรุนที่มีแรงคายักกลับที่ช่วยในการดึงเอกสารทำงานที่กลับตัวให้เหลือกลับมายังส่วนทำระหว่าง ดังแสดงในรูปที่ 1



รูปที่ 1 แสดงรูปแบบของท่อความร้อน (Heat Pipe)  
Rittidech [8]

1.2 คุณลักษณะการถ่ายเทความร้อนของท่อความร้อนเมื่อให้ความร้อนเข้าไปยังส่วนทำระเหยสารทำงานที่รับความร้อนจะเกิดการเดือดและเคลื่อนที่จากส่วนทำระเหยไปยังส่วนควบแน่นที่มีอุณหภูมิต่ำกว่าและเกิดการถ่ายเทความร้อนทำให้เกิดการควบแน่น ในการหาค่าการถ่ายเทความร้อนในส่วนควบแน่น หรือสมการที่ใช้สำหรับคำนวณหาค่าความร้อนของอากาศที่มารับความร้อนในส่วนควบแน่น คำนวณจากสมการที่ (1) Sriudom [9] โดยในส่วนควบแน่นจะติดตั้งพัดลมเป่าอากาศที่ความเร็ว 1 เมตรต่อวินาที ผ่านส่วนควบแน่น แล้วดัดค่าอุณหภูมิทั้งขาเข้า (อุณหภูมิสิ่งแวดล้อม) และขาออกของอากาศที่ส่วนควบแน่น จากนั้นนำค่าที่ได้มาคำนวณโดยใช้สมการ ดังต่อไปนี้

$$Q = \dot{m}C_p\Delta T \quad (1)$$

โดยที่

$Q$  คือ ค่าความร้อนของอากาศในส่วนควบแน่น (W)

$\dot{m}$  คือ อัตราการไหลเชิงมวลของอากาศ (kg/s)

$C_p$  คือ ค่าความจุความร้อนจำเพาะของอากาศ (kJ/kg-K)

$\Delta T$  คือ ผลต่างอุณหภูมิของอากาศขาออกและขาเข้าที่ส่วนควบแน่น ( $^{\circ}\text{C}$ )

เมื่อ

$$\dot{m} = \rho v A \quad (2)$$

โดย

$\rho$  คือ ค่าความหนาแน่น ( $\text{kg/m}^3$ )

$v$  คือ ค่าความเร็วของสารทำงาน ( $\text{m/s}$ )

$A$  คือ ค่าพื้นที่หน้าตัดที่อากาศไหลผ่าน ( $\text{m}^2$ )

การคำนวณประสิทธิภาพ ( $\eta$ ) ของแผงเซลล์แสงอาทิตย์ แสดงดังสมการที่ (3)

$$\eta = (IV)/(AG) \quad (3)$$

การคำนวณกำลังไฟฟ้า ( $P$ ) ของแผงเซลล์แสงอาทิตย์ แสดงดังสมการที่ (4)

$$P = IV \quad (4)$$

โดยที่

$P$  คือ กำลังไฟฟ้า (Watts)

$I$  คือ กระแสไฟฟ้า (A)

$V$  คือ แรงดันไฟฟ้า (Volt)

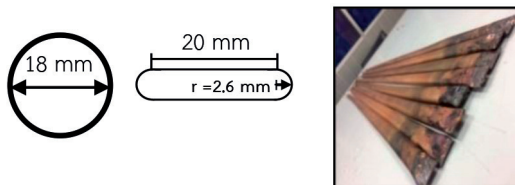
$G$  คือ ความเข้มรังสีแสงอาทิตย์ ( $\text{W/m}^2$ )

$A$  คือ พื้นที่รับรังสีแสงอาทิตย์ของแผงเซลล์แสงอาทิตย์ ( $\text{m}^2$ )

### 1.3 อุปกรณ์ และขั้นตอนการทดสอบ

ผู้วิจัยได้ออกแบบ และสร้างชุดทดลอง โดยแบ่งชุดสอบออกเป็น 3 ชุด ได้แก่ 1. ชุดทดสอบเซลล์แสงอาทิตย์ที่ไม่ได้ติดตั้งท่อความร้อน (HP1) 2. ชุดทดสอบเซลล์แสงอาทิตย์ที่ติดตั้งท่อความร้อนโดยใช้ Ethananol เป็นสารทำงาน (HP2) และ 3 ชุดทดสอบเซลล์แสงอาทิตย์ที่ติดตั้งท่อความร้อนโดยใช้สารทำงานเย็น R-11 เป็นสารทำงาน (HP3) โดยช่วงเวลาในการทดสอบระหว่างวันที่ 1 - 30 ธันวาคม 2560 และอุปกรณ์ในการทดสอบ ประกอบไปด้วย

1.3.1 ห่อความร้อน ทำจากห่อทองแดง มีขนาด เส้นผ่าศูนย์กลางภายนอก 18 มิลลิเมตร นำมาบีบให้มีขนาด 20 มิลลิเมตร และ มีรัศมี 2.6 มิลลิเมตร ดังแสดงในรูปที่ 2 ภายในติดตั้งวัสดุพrunแบบตาข่าย ทองแดง ขนาด 100 Mesh ดังแสดงในรูปที่ 3 บรรจุสารทำงานประกอบด้วย เอทานอล และ สารทำความสะอาด เช่น R-11 โดยเติมสารทำงาน ร้อยละ 40 โดยปริมาตร รวมของส่วนทำงาน ซึ่งผู้วิจัยอ้างอิงการเติมสารทำงาน Kraisanghirun [10] ได้ทำการทดลองสมรรถนะ เชิงอุณหภูของอุปกรณ์แลกเปลี่ยนความร้อนแบบห่อความร้อน โดยทดลองปรับอัตราส่วนการเติม ที่ร้อยละ 30, 40, 50, 60 และ 70 โดยผลการทดสอบที่ อัตราการเติมสารทำงานร้อยละ 40 จะให้ผลที่ดีที่สุด



รูปที่ 2 ห่อความร้อนแบบแบบ



รูปที่ 3 วัสดุพrunแบบตาข่าย

1.3.2 สายเทอร์โมคัปเปลี่ยนยี่ห้อ OMEGA ชนิด K แม่นยำ  $\pm 1^\circ\text{C}$  แสดงดังรูปที่ 4



รูปที่ 4 สายเทอร์โมคัปเปลี่ยนยี่ห้อ OMEGA ชนิด K

1.3.3 เครื่องวัดความเข้มแสง ยี่ห้อ SPM-1116SD ช่วงการวัด 0.0 ถึง 2,000.0 วัตต์ต่อตารางเมตร ความแม่นยำ  $\pm 10$  วัตต์ต่อตารางเมตร แสดงดังรูปที่ 5



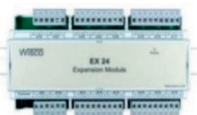
รูปที่ 5 เครื่องวัดความเข้มแสง (Pyranometer)

1.3.4 เครื่องบันทึกข้อมูล ยี่ห้อ Wisco รุ่น DL 2200 ขนาด 8 ช่องสัญญาณ มีช่วงการวัด อุณหภูมิ -250 องศาเซลเซียส ถึง 1,300 องศาเซลเซียส มีความแม่นยำ  $\pm 0.1$  องศาเซลเซียส แสดงดังรูปที่ 6



รูปที่ 6 เครื่องบันทึกข้อมูล (Data-logger)

1.3.5 ตัวขยายสัญญาณ Analog Expansion Module EX24 ขนาด 16 Channels Analog Input มีช่วงการวัดอุณหภูมิ -250 องศาเซลเซียส ถึง 1,300 องศาเซลเซียส มีความแม่นยำ  $\pm 0.1$  องศาเซลเซียส แสดงดังรูปที่ 7



รูปที่ 7 Analog Expansion Module

1.3.6 มัลติมิเตอร์ ยี่ห้อ GW instek GDM-394/396 ใช้สำหรับวัดค่ากระแสไฟฟ้าและแรงดันไฟฟ้า แสดงดังรูปที่ 8



รูปที่ 8 มัลติมิเตอร์

1.3.7 เครื่องควบคุมการประจุกระแสไฟฟ้า LEONICS รุ่น APOLLO S-120A แรงดันไฟฟ้าขาเข้า 12 โวลต์ดีซี แรงดันไฟฟ้าขาออก 220 โวลต์ดีซี 1 เฟส ความถี่ไฟฟ้า 50 กิโลเอิร์ตซ์ แสดงดังรูปที่ 9



รูปที่ 9 เครื่องควบคุมการประจุกระแสไฟฟ้า

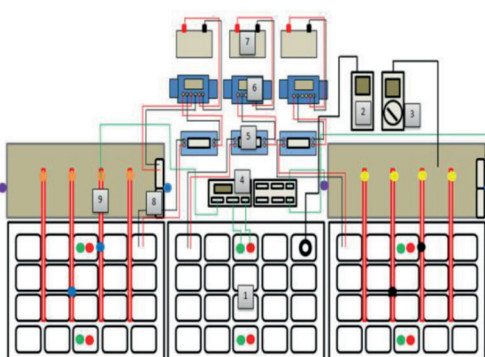
1.3.8 แบตเตอรี่ สำหรับการทดสอบขนาด 12 โวลต์ – 20 แอม培ร์ชั่วโมง

1.3.9 แผงเซลล์แสงอาทิตย์ชนิดโมโนคริสตัลไลน์ (Mono-crystalline Module ขนาด 80 วัตต์) แรงดันไฟฟ้าสูงสุด 18.0 โวลต์ กระแสสูงสุด 2.23 แอม培ร์ แสดงดังรูปที่ 10



รูปที่ 10 แผงเซลล์แสงอาทิตย์ชนิดโมโนคริสตัลไลน์

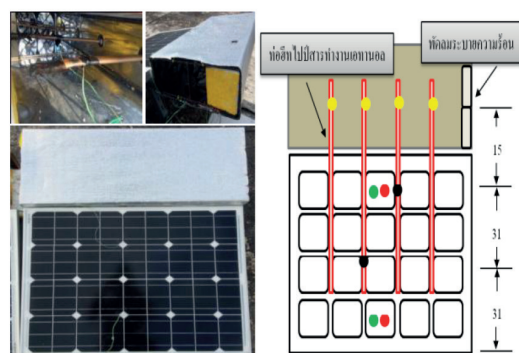
1.4 ไดอะแกรมสำหรับติดตั้งอุปกรณ์สำหรับตรวจวัดและเก็บข้อมูลการทดสอบ แสดงดังรูปที่ 11 และ รูปที่ 12



รูปที่ 11 ผังการติดตั้งเครื่องมือตรวจวัดแผงเซลล์แสงอาทิตย์

ตารางที่ 1 รายละเอียดการติดตั้งอุปกรณ์และเครื่องมือสำหรับการทดสอบ

รายการ	สี	รายการ
1. แผงเซลล์แสงอาทิตย์	●	ตำแหน่งติดสายเทอร์มิกไปบนแผง
2. เครื่องวัดความแข็งแสบ	●	ตำแหน่งจัดสายเทอร์มิกไปให้แนบ
3. ตำแหน่งรั่วอุณหภูมิ	●	การติดต่อความร้อนโดยใช้สารทำงาน เอทานอล (Ethanol)
4. เครื่องบันทึกอุณหภูมิ	●	การติดต่อความร้อนโดยใช้สารทำงาน R-11
5. วัสดุมิเตอร์	●	ตำแหน่งลงมือเข้า
6. เครื่องควบคุมการทำงาน	●	ตำแหน่งลงมือออก
7. แบตเตอรี่	●	ท่อความร้อน
8. พัดลมระบายความร้อน	●	
9. ท่อความร้อน	●	



รูปที่ 12 การติดตั้งท่อความร้อนและตำแหน่งวัดอุณหภูมิของชุดทดสอบ

1.5 การเลือกใช้สารทำงานภายในท่อความร้อน โดยผู้วิจัยได้ทำการเลือกสารที่นำมาใช้เป็นสารทำงานภายในท่อความร้อน ได้แก่ เอทานอล และสารทำงานเย็น R-11 ดังแสดงในตารางที่ 1 เนื่องจากสารทำงานทั้งสองชนิดมีช่วงอุณหภูมิการทำงานใกล้เคียงกันและทำงานได้ดีที่อุณหภูมิในการระบายความร้อนออกจากแผงเซลล์แสงอาทิตย์ อีกทั้งสารทำงานทั้งสองชนิดหาได้ง่าย และมีราคาค่อนข้างถูก

**ตารางที่ 2** สารทำงานภายในห้องความร้อน John Wiley [11]

สารทำงาน	จุดเดือด(°C)	อุณหภูมิใช้งาน (°C)
Helium	-269	-271 ถึง -269
Nitrogen	-196	-203 ถึง -160
Ammonia	-33	-60 ถึง 100
R- 11	24	- 40 ถึง 120
Pentane	28	-20 ถึง 120
Ethanol	78	0 ถึง 130

### ขั้นตอนการวิจัย

ผู้วิจัยได้ทำการจัดทำชุดทดสอบ 3 ชุด ได้แก่ 1. แฟงเซลล์แสงอาทิตย์ที่ไม่ได้ติดตั้งห้องความร้อน (HP1) 2. แฟงเซลล์แสงอาทิตย์ที่ติดตั้งห้องความร้อนโดยใช้อุทานอลเป็นสารทำงาน (HP2) และ 3. แฟงเซลล์แสงอาทิตย์ที่ติดตั้งห้องความร้อนโดยใช้สาร R-11 เป็นสารทำงาน (HP3) โดยทดสอบในช่วงวันที่ 1 - 30 ธันวาคม พ.ศ.2559 ซึ่งผู้วิจัยได้ทำการเลือกวันที่มีอากาศปลอดโปร่งมีแสงอาทิตย์ตลอดทั้งวันนั้นคือวันที่ 18 ธันวาคม 2559 มาใช้เป็นตัวแทนในการวิเคราะห์ข้อมูลในการทดสอบ ช่วงเวลาการเก็บข้อมูลตั้งแต่เวลา 09.00 – 16.00 น. โดยทำการทดสอบที่คณะวิศวกรรมศาสตร์ มหาวิทยาลัยเทคโนโลยีราชมงคลล้านนาตาก ซึ่งข้อมูลที่ทำการบันทึก ได้แก่ อุณหภูมิ ความชื้นแสง ความต่างศักย์ และกระแสไฟฟ้า ทำการบันทึกข้อมูลทุก ๆ 5 วินาที โดยมีขั้นตอนในการทดสอบ ดังต่อไปนี้

1. ทำการทดสอบแฟงเซลล์แสงอาทิตย์ก่อนติดตั้งห้องความร้อนเพื่อหาประสิทธิภาพแฟง โดยแบ่งแฟงออกเป็น 3 ชุด ประกอบด้วย แฟงที่ 1 (S1) แฟงที่ 2 (S2) และ แฟงที่ 3 (S3) โดยทำการทดสอบจำนวน 3 วัน แล้วนำข้อมูลที่ได้จากการทดสอบมาคำนวณหาประสิทธิภาพแฟง

2. ทำการติดตั้งห้องความร้อนเข้ากับแฟงเซลล์แสงอาทิตย์ ตามขนาดที่ออกแบบไว้ โดยแบ่งชุดทดสอบออกเป็น 3 ชุด ประกอบไปด้วย 1. แฟงเซลล์แสงอาทิตย์ที่ไม่ได้ติดตั้งห้องความร้อน (HP1) 2. แฟงเซลล์แสงอาทิตย์ที่ติดตั้งห้องความร้อนโดยใช้อุทานอลเป็นสารทำงาน (HP2) และ 3. แฟงเซลล์แสงอาทิตย์ที่ติดตั้งห้องความร้อนโดยใช้สาร R-11 เป็นสารทำงาน (HP3)

3. ติดตั้งอุปกรณ์ในการทดสอบ และอุปกรณ์ในการตรวจสอบเข้ากับชุดทดสอบแฟงเซลล์แสงอาทิตย์ ดังแสดงในรูปที่ 10 โดยทำการบันทึกอุณหภูมิอุณหภูมิความชื้นแสง และ กำลังไฟฟ้า ทุก ๆ 5 วินาที และนำข้อมูลที่ได้มาใช้สำหรับวิเคราะห์ข้อมูลต่อไป

4. การวิเคราะห์ข้อมูล หลังจากที่ได้ทำการทดสอบและเก็บรวมรวมข้อมูล จะนำข้อมูลที่ได้มาใช้ในการวิเคราะห์ข้อมูล ประกอบไปด้วย

4.1 คำนวนค่าการถ่ายเทความร้อนของห้องความร้อน ตามสมการที่ (1) – (2)

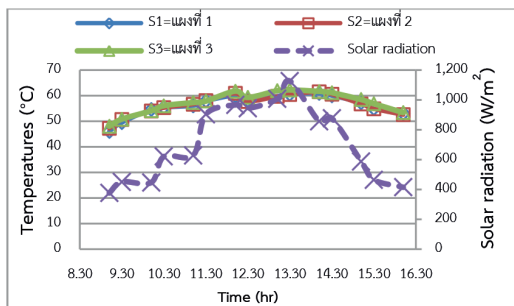
4.2 คำนวนหาประสิทธิภาพแฟงเซลล์แสงอาทิตย์ ตามสมการที่ (3) – (4)

### 3. ผลการศึกษาและอภิปรายผล

จากการศึกษา ทดลองและวิจัยผลเพื่อหาประสิทธิภาพแฟงเซลล์แสงอาทิตย์ที่ไม่ได้ติดตั้งห้องความร้อน (HP1) แฟงเซลล์แสงอาทิตย์ที่ติดตั้งห้องความร้อนโดยใช้อุทานอลเป็นสารทำงาน (HP2) และ แฟงเซลล์แสงอาทิตย์ที่ติดตั้งห้องความร้อนโดยใช้สาร R-11 เป็นสารทำงาน (HP3) และนำข้อมูลที่ได้ไปวิเคราะห์ข้อมูล และคำนวนหาประสิทธิภาพของแฟงเซลล์แสงอาทิตย์ โดยผลจากการทดสอบ ประกอบไปด้วย

3.1 ผลการทดสอบแฟงเซลล์แสงอาทิตย์ที่ไม่ได้ติดตั้งห้องความร้อน ประกอบไปด้วย

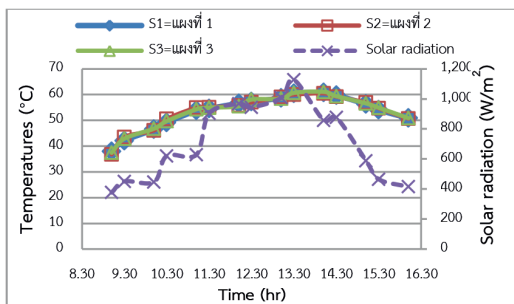
3.1.1 ผลของการ测量ความชื้นแสงและอุณหภูมิได้แฟงของทั้ง 3 แฟง กรณีที่ไม่ได้ติดตั้งห้องความร้อนแสดงดังรูปที่ 13



**รูปที่ 13** แสดงความสัมพันธ์ระหว่างความเข้มแสง อุณหภูมิใต้แผง และช่วงเวลาในการทดสอบ ของแผงเซลล์แสงอาทิตย์ที่ไม่ได้ติดตั้ง ท่อความร้อน

จากรูปที่ 13 พบร้า อุณหภูมิใต้แผงจะดันเพร ตามความเข้มแสงโดยเมื่อความเข้มแสงมีค่าสูงขึ้นจะส่ง ผลให้อุณหภูมิใต้แผงมีค่าเพิ่มขึ้น การที่อุณหภูมิใต้แผงมี ค่าสูงขึ้นนั้นเนื่องจากการสะสมความร้อนของแผงเซลล์ แสงอาทิตย์ ซึ่งจะเห็นได้จากช่วงเวลา 9.00 น. อุณหภูมิ ใต้แผงจะมีค่าต่ำ และจะมีอุณหภูมิสูงขึ้นเมื่อเวลาเพิ่ม ขึ้น ซึ่งค่าความเข้มแสงสูงสุด เท่ากับ 1,127 วัตต์ต่อ ตารางเมตร เมื่อเวลา 13.30 น. และมีค่าความเข้มแสง เฉลี่ยตลอดทั้งวัน เท่ากับ 711.8 วัตต์ต่อตารางเมตร ส่วนอุณหภูมิใต้แผงสูงสุด เท่ากับ 61.1 องศาเซลเซียส เมื่อเวลา 14.00 น. และมีค่าอุณหภูมิเฉลี่ยใต้ แผงเฉลี่ย เท่ากับ 50.4 องศาเซลเซียส

**3.1.2** ผลของความเข้มแสงและอุณหภูมิบน แผงเซลล์แสงอาทิตย์ของทั้ง 3 แผง กรณีที่ไม่ได้ติดตั้ง ท่อความร้อน แสดงดังรูปที่ 14

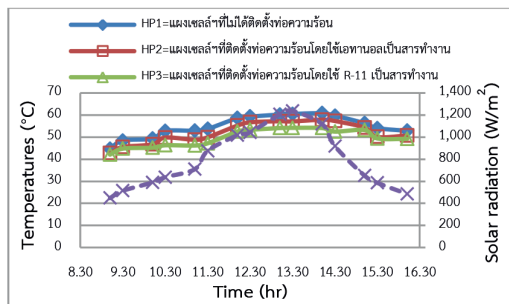


**รูปที่ 14** แสดงความสัมพันธ์ระหว่างความเข้มแสง อุณหภูมิบนแผง และช่วงเวลาในการทดสอบของ แผงเซลล์แสงอาทิตย์ที่ไม่ได้ติดตั้งท่อความร้อน

จากรูปที่ 14 พบร้า อุณหภูมิบนแผงเซลล์แสง อาทิตย์จะดันเพร ตามความเข้มแสงโดยเมื่อความเข้ม แสงมีค่าสูงขึ้นจะส่งผลให้อุณหภูมิบนแผงมีค่าเพิ่มขึ้น ซึ่งมีลักษณะเช่นเดียวกับอุณหภูมิใต้แผง โดยการที่ อุณหภูมิบนแผงมีค่าสูงขึ้นนั้นเนื่องจากการสะสม ความร้อนของแผงเซลล์แสงอาทิตย์ โดยค่าความเข้ม แสงสูงสุดมีค่าเท่ากับ 1,127 วัตต์ต่อตารางเมตร เมื่อเวลา 13.30 น. และมีค่าความเข้มแสงเฉลี่ยตลอด ทั้งวัน เท่ากับ 711.8 วัตต์ต่อตารางเมตร ส่วนอุณหภูมิ บนแผงสูงสุดมีค่าเท่ากับ 62.3 องศาเซลเซียส เมื่อเวลา 13.30 น. และมีค่าอุณหภูมิเฉลี่ยบนแผง เท่ากับ 53.4 องศาเซลเซียส

### 3.2 ผลการทดสอบแผงเซลล์แสงอาทิตย์ที่ติดตั้ง ท่อความร้อน

**3.2.1** ผลของความเข้มแสง และอุณหภูมิใต้ แผงเซลล์แสงอาทิตย์ของทั้ง 3 ชุดทดสอบ แสดงดัง รูปที่ 15

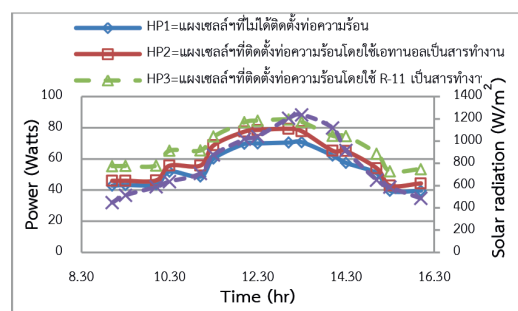


**รูปที่ 15** แสดงความสัมพันธ์ระหว่างความเข้มแสง อุณหภูมิใต้แผง และช่วงเวลาในการทดสอบของ แผงเซลล์แสงอาทิตย์ที่ไม่ได้ติดตั้งท่อความร้อนและ ติดตั้งท่อความร้อน

จากรูปที่ 15 พบร้า ชุดทดสอบทั้ง 3 ชุดทดสอบ มีแนวโน้มอุณหภูมิใต้แผงที่เหมือนกันคือเมื่อความ เข้มแสงมีค่าสูงขึ้นจะส่งผลให้อุณหภูมิใต้แผงมีค่าเพิ่ม ขึ้นตามไปด้วย โดยอุณหภูมิใต้แผงเฉลี่ยของชุดทดสอบ HP1, HP2 และ HP3 มีค่าเท่ากับ 54.9, 51.9 และ 49.6 องศาเซลเซียส ตามลำดับ และมีอุณหภูมิใต้แผง สูงสุดของชุดทดสอบ HP1, HP2 และ HP3 มีค่าเท่ากับ

60.8, 57.9 และ 53.2 องศาเซลเซียส ตามลำดับ โดยจากการทดสอบแสดงให้เห็นว่า เมื่อทำการติดตั้งท่อความร้อนเข้ากับแผงเซลล์แสงอาทิตย์ทำให้อุณหภูมิของแผงเซลล์แสงอาทิตย์มีอุณหภูมิที่ลดลงเนื่องจากห้องความร้อนดึงเอาความร้อนออกจากแผงเซลล์แสงอาทิตย์นั้นเอง โดยท่อความร้อนที่ใช้สารที่ใช้สารทำงานเย็น R-11 (ชุดทดสอบ HP3) สามารถดึงความร้อนออกจากแผงเซลล์แสงอาทิตย์ได้สูงสุด เนื่องจากสารทำงานเย็น R-11 มีจุดเดือดที่ต่ำกว่าสารทำงานเอทานอลทำให้มีสารทำงานเย็น R-11 ได้รับความร้อนจากแผงเซลล์แสงอาทิตย์จะเดือดกลایเป็นไอที่ส่วนทำระหว่างและเคลื่อนที่มาระบายความร้อนที่ส่วนควบคุมได้เร็วกว่าสารทำงานเอทานอล จึงทำให้ท่อความร้อนที่ใช้สารทำงาน R-11 ระบายความร้อนได้เร็วและดีกว่าสารทำงานเอทานอลนั้นเอง

### 3.2.2 ผลของการทดสอบกำลังไฟฟ้าของชุดทดสอบเซลล์แสงอาทิตย์ แสดงดังรูปที่ 16

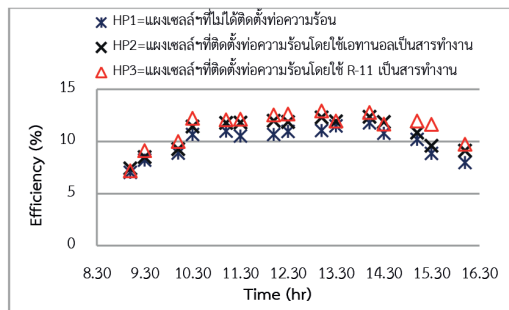


รูปที่ 16 แสดงความสัมพันธ์ระหว่างความเข้มแสง กำลังไฟฟ้า และช่วงเวลาที่ใช้ในการทดสอบของแผงเซลล์แสงอาทิตย์ที่ไม่ได้ติดตั้งท่อความร้อน และติดตั้งท่อความร้อน

จากรูปที่ 16 พบร่วม ค่าพลังงานไฟฟ้าของแผงเซลล์แสงอาทิตย์ทั้ง 3 แผง มีแนวโน้มที่เหมือนกัน คือ เมื่อความเข้มแสงมีค่าเพิ่มขึ้นหรือลดลงจะส่งผลให้ค่าพลังงานไฟฟ้าของแผงเซลล์แสงอาทิตย์มีค่าเพิ่มขึ้น

หรือลดลงตามไปด้วย ซึ่งค่าพลังงานไฟฟ้าโดยเฉลี่ยของแผงเซลล์แสงอาทิตย์ HP1, HP2 และ HP3 มีค่าเท่ากับ 54.7, 60.2 และ 68.5 วัตต์ ตามลำดับ โดยค่าพลังงานไฟฟ้าสูงสุดของแผงเซลล์แสงอาทิตย์ HP1, HP2 และ HP3 มีค่าเท่ากับ 70.7, 79.3 และ 85.4 วัตต์ ตามลำดับ โดยจากการทดสอบแสดงให้เห็นว่า เมื่อทำการติดตั้งท่อความร้อนโดยใช้สาร R-11 เป็นสารทำงานจะทำให้แผงเซลล์แสงอาทิตย์สามารถผลิตไฟฟ้าได้สูงสุด รองลงมาคือแผงเซลล์แสงอาทิตย์ที่ติดตั้งท่อความร้อนโดยใช้อุทาโนลเป็นสารทำงาน ส่วนแผงเซลล์แสงอาทิตย์ที่ไม่ได้ติดตั้งท่อความร้อนจะผลิตไฟฟ้าได้ต่ำสุด

### 3.2.3 ผลของการทดสอบประสิทธิภาพชุดทดสอบเซลล์แสงอาทิตย์ แสดงดังรูปที่ 17



รูปที่ 17 แสดงผลของประสิทธิภาพของแผงเซลล์แสงอาทิตย์ที่ได้จากการทดสอบ

จากรูปที่ 17 พบร่วม ประสิทธิภาพของแผงเซลล์แสงอาทิตย์ทั้ง 3 แผง มีแนวโน้มที่เหมือนกัน ซึ่งค่าประสิทธิภาพโดยเฉลี่ยของแผงเซลล์แสงอาทิตย์ HP1, HP2 และ HP3 มีค่าเท่ากับร้อยละ 9.3, 10.2 และ 11.8 ตามลำดับ โดยผลที่ได้จากการทดสอบแสดงให้เห็นว่า เมื่อทำการติดตั้งท่อความร้อนเพื่อรับประยุกต์ความร้อนออกจากแผงเซลล์แสงอาทิตย์ โดยใช้สาร R-11 เป็นสารทำงาน จะทำให้แผงเซลล์แสงอาทิตย์มีประสิทธิภาพสูงสุด รองลงมาคือแผงเซลล์แสงอาทิตย์ที่ติดตั้งท่อความร้อนโดยใช้อุทาโนลเป็นสารทำงาน

ส่วนแพงเซลล์แสงอาทิตย์ที่ไม่ได้ติดตั้งท่อความร้อน จะมีประสิทธิภาพต่ำสุด

#### 4. สรุป

จากการศึกษาแนวทางการเพิ่มสมรรถนะของ แพงเซลล์แสงอาทิตย์โดยการติดตั้งท่อความร้อนสำหรับ ระบบความร้อนออกจากแพงเซลล์แสงอาทิตย์ โดย ทำการทดสอบในเดือนธันวาคม 2559 แพงเซลล์แสงอาทิตย์ที่ใช้สำหรับทดสอบเป็นแบบโมโนคริสตัลไลน์ ขนาด 80 วัตต์ และ ซึ่งจะทำการทดสอบแพงเซลล์แสงอาทิตย์ 3 แบบ คือ แบบที่ 1 แพงเซลล์แสงอาทิตย์ที่ ไม่ได้ติดตั้งท่อความร้อน (HP1) แบบที่ 2 แพงเซลล์แสงอาทิตย์ที่ติดตั้งท่อความร้อนโดยใช้อุปกรณ์ (HP2) เป็นสารทำงาน และ แบบที่ 3 แพงเซลล์แสงอาทิตย์ที่ติดตั้งท่อความร้อนโดยใช้สารทำงาน R-11 เป็นสารทำงาน (HP3) ซึ่งการทดสอบจะทำการเก็บข้อมูล ความเข้มแสงอาทิตย์ กำลังไฟฟ้า และอุณหภูมิของแพงเซลล์แสงอาทิตย์ จากผลการทดสอบ พบว่า อุณหภูมิ เฉลี่ยที่ผิวของแพงเซลล์แสงอาทิตย์ที่ไม่ได้ติดตั้งท่อความร้อน (HP1) แพงเซลล์แสงอาทิตย์ที่ติดตั้งท่อความร้อนโดยใช้อุปกรณ์ เป็นสารทำงาน (HP2) และ แพงเซลล์แสงอาทิตย์ที่ติดตั้งท่อความร้อนโดยใช้สารทำงาน R-11 เป็นสารทำงาน (HP3) มีค่าเท่ากับ 52.8, 50.6 และ 49.2 องศาเซลเซียส ตามลำดับ ซึ่ง แพงทดสอบ (HP3) สามารถถ่ายเทความร้อนออก จากแพงเซลล์แสงอาทิตย์ได้สูงสุด รองลงมาคือ แพงทดสอบ (HP2) ส่วนแพงทดสอบ (HP1) ที่ไม่ได้ติดตั้งท่อความร้อนจะมีการถ่ายเทความร้อนออกจากแพงเซลล์ได้ต่ำสุด และ ประสิทธิภาพเฉลี่ยของแพงทดสอบ (HP1) แพงทดสอบ (HP2) และ แพงทดสอบ (HP3) มี ค่าเท่ากับร้อยละ 9.3, 10.2 และ 11.8 โดยแพงที่ติดตั้งท่อความร้อนโดยใช้สาร R-11 เป็นสารทำงาน จะให้ประสิทธิภาพสูงสุด รองลงมาคือแพงที่ติดตั้งท่อความร้อนโดยใช้สารอุปทานอลเป็นสารทำงาน ส่วน แพงเซลล์แสงอาทิตย์ที่ไม่ได้ติดตั้งท่อความร้อน จะให้

ประสิทธิภาพต่ำสุด จากการที่สารทำงาน R-11 สามารถ ระบายน้ำร้อนและให้ประสิทธิภาพสูงสุดนั้น เนื่องจากสารทำงานเย็น R-11 มีจุดเดือดที่ต่ำกว่า สารทำงานอุปทานอล ทำให้มีสารทำงานเย็น R-11 ได้รับความร้อนจากแพงเซลล์แสงอาทิตย์จะเดือดภายใน เป็นไอที่ส่วนที่ระเหยและเคลื่อนที่มาระบายความร้อน ที่ส่วนควบแน่นได้เร็วกว่าสารทำงานอุปทานอล จึง ทำให้ท่อความร้อนที่ใช้สารทำงาน R-11 ระบายน้ำ ร้อนได้เร็วและต่ำกว่าสารทำงานอุปทานอลนั้นเอง โดย สรุปแล้วเมื่อทำการติดตั้งท่อความร้อนสำหรับระบบ ความร้อนออกจากแพงเซลล์แสงอาทิตย์จะสามารถลด อุณหภูมิของแพงเซลล์แสงอาทิตย์ลงได้และส่งผลให้ ประสิทธิภาพของแพงเซลล์แสงอาทิตย์ มีประสิทธิภาพ ที่เพิ่มขึ้น

#### 5. กิตติกรรมประกาศ

ขอขอบคุณสำนักงานคณะกรรมการวิจัยแห่งชาติ (วช.) ที่ให้งบประมาณสนับสนุนการทำวิจัย ในครั้งนี้นับสำเร็จลุล่วงไปด้วยดี ขอขอบคุณสาขา วิศวกรรมเครื่องกล คณะวิศวกรรมศาสตร์ มหาวิทยาลัย มหาวิทยาลัยเทคโนโลยีราชมงคลล้านนา ที่เอื้อเฟื้อ อุปกรณ์และสถานที่ในการทำการวิจัย

#### 6. เอกสารอ้างอิง

- [1] T. Kiatsiriroat. (2016, April 14). National Science and Technology Development Agency (NSTDA). [Online]. Available: <http://www.clinictech.most.go.th/online/techlist/attachFile/20172251157371.pdf>
- [2] N. Phuengkum, "Increasing Performance of Solar Cell Panels by Cooling System," M.S. thesis, Dept. Science in Physics., Prince of Songkla Univ., Songkla, 2008.
- [3] P. Bhulla, C. Lertsatittanakorn and N.

- Suwaphat, "The Improvement of Photovoltaic Module Efficiency using Temperature Reduction Techniques," *SWU Engineering Journal*, vol. 8, pp. 1-10, 2013.
- [4] T. Yonsatitkul, A. Paedwong and B. Moranok, "A Study of the Efficiency of Performance in Solar Cell Panels by Copper Tube and Peltier for Cooling System," in *Proceeding of 1st national Forum on Creative Innovation The King's Philosophy for Sustainable Development*, Roi Et Rajabhat University, Roi Et, 2017, pp. 386-391.
- [5] S. Sichamnan, T. Chompoocam and S. Rittidech, "Efficiency Enhancement of Solar Panels using Copper Mesh Wick Heat Pipe," *UBU Engineering Journal*, vol. 9, pp. 11-22, Jan. 2016.
- [6] P. Gang, F. Huide, Z. Tao and J. Jie, "A numerical and experimental study on a heat pipe PV/T system," *Solar energy*, vol. 85, pp. 911-921, May 2011.
- [7] P. Gang, F. Huide, J. Jie, C. Tin-tai, and Z. Tao, "Annual analysis of heat pipe PV/T systems for domestic hot water and electricity production," *Energy Conversion and Management*, vol. 56, pp. 8-21, Dec. 2012.
- [8] S. Rittidech. *Heat Pipe Technology*, 2nd ed. Mahasarakham: Mahasarakham University Library Press, 2012.
- [9] Y. Sriudom, S. Rittidech, and T. Chompoockham, "The Helical Oscillating Heat Pipe: Flow Pattern Behaviour Study," *Advances in Mechanical Engineering*, vol.7, pp. 1-11, Jan. 1, 2015.
- [10] V. Kraisanghirun and T. Sunthornchainaksang, "Experimental on the thermal performance of thermosyphon heat exchanger," *Engineering Journal of Siam University*, vol. 29, pp. 28 – 36, 2014.
- [11] M. Kutz, *Mechanical Engineers' Handbook: Energy and Power*, 4th ed. New Jersey: John Wiley & Sons, Inc.